

二叠氮季戊二醇二硝酸酯的 AM1分子轨道研究

王遵尧

(盐城工学院, 盐城 224003)

贡雪东 肖鹤鸣

(南京理工大学, 南京 210094)

摘要 用 AM1 方法计算了二叠氮季戊二醇二硝酸酯(PDADN)处于四种构象下的分子几何构型和电子结构, 其中以一个硝酸酯基取反式, 另一个硝酸酯基和两个叠氮基取顺式时最稳定; 同时发现两个硝酸酯基和叠氮基都取反式时, 分子的核核排斥能较小, 偶极矩也较小。

关键词 AM1 方法 分子构型 二叠氮季戊二醇二硝酸酯(PDADN) 稳定性

1 引言

二叠氮季戊二醇二硝酸酯(PDADN)是一种新型高能化合物。Frankel^[1]和王平^[2]等对它进行了合成研究, 文献[3]报道了它的结构分析。本文用 Mopac^[4]程序包中的 AM1^[5]方法, 对 PDADN 的四种可能的构象进行了 SCF 计算, 得到它们的全优化几何构型以及在各构象下的电子结构。通过对比发现, 在四种构象中, 一个硝酸酯基取反式, 另一个硝酸酯基和两个叠氮基取顺式的构象最稳定; 而当两个硝酸酯基取反式, 两个叠氮基取顺式时则不稳定。

2 计算方法和初始构型

SCF-AM1 分子轨道法是当前国际上流行的半经验的量子化学理论方法, 被广泛地用于计算各类化合物的分子几何构型、电子结构和若干参数, 我们已将其系统地应用于硝酸酯类化合物^[6,7]。本文采用该方法, 在 HP-9000-842 计算机上, 以能量梯度法(全)优化分子几何构型, 经 SCF 计算得到 PDADN 的电子结构。输入初始构型采用 Pople^[8]标准键长、键角和二面角。对 PDADN 分子选如下四种构象作为初始构型输入: (I) 两个硝酸酯基和两个叠氮基都取反式; (II) 两个硝酸酯基取反式, 两个叠氮基取顺式; (III) 一个硝酸酯基取反式, 另一个硝酸酯基和两个叠氮基取顺式; (IV) 两个硝酸酯基和一个叠氮基取反式, 另一个叠氮基取顺式。分子中各原子编号见图 1。

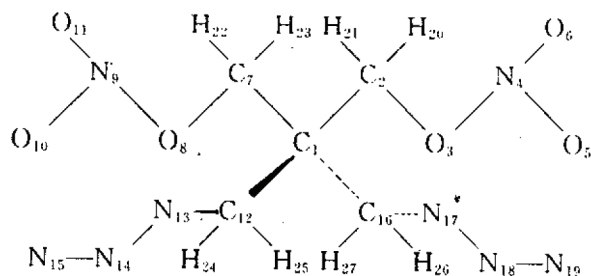


图1 PDADN分子中各原子的编号

Fig. 1 The numbering of atoms in PDADN

3 计算结果

将计算所得PDADN的四种构象和电子结构参数列于表1和表2中。

表1 AM1计算所得PDADN在四种构象下的优化参数和各原子上的净电荷

Table 1 AM1 calculated geometrical parameters and atomic charges of four PDADN conformations

| 键长/(nm) | I | II | III | IV | 键角/(°) | I | II | III | IV |
|---------|--------|--------|--------|--------|-----------|-------|-------|-------|-------|
| 1-2 | 0.1531 | 0.1533 | 0.1525 | 0.1538 | ∠1-2-3 | 104.7 | 106.5 | 105.4 | 105.3 |
| 2-3 | 0.1459 | 0.1453 | 0.1456 | 0.1456 | ∠2-3-4 | 118.4 | 118.4 | 118.9 | 118.7 |
| 3-4 | 0.1343 | 0.1344 | 0.1349 | 0.1345 | ∠3-4-5 | 113.3 | 113.5 | 113.0 | 113.2 |
| 4-5 | 0.1188 | 0.1187 | 0.1187 | 0.1188 | ∠3-4-6 | 117.5 | 117.7 | 117.4 | 117.7 |
| 4-6 | 0.1192 | 0.1193 | 0.1190 | 0.1191 | ∠2-1-7 | 106.4 | 105.9 | 108.1 | 108.7 |
| 1-7 | 0.1532 | 0.1542 | 0.1532 | 0.1532 | ∠1-7-8 | 104.9 | 105.7 | 109.8 | 111.5 |
| 7-8 | 0.1458 | 0.1452 | 0.1445 | 0.1442 | ∠7-8-9 | 118.5 | 119.3 | 120.3 | 120.9 |
| 8-9 | 0.1344 | 0.1347 | 0.1351 | 0.1348 | ∠8-9-10 | 113.3 | 113.2 | 112.9 | 113.1 |
| 9-10 | 0.1188 | 0.1187 | 0.1188 | 0.1186 | ∠8-9-11 | 117.6 | 117.7 | 118.0 | 118.0 |
| 9-11 | 0.1191 | 0.1191 | 0.1188 | 0.1191 | ∠2-1-12 | 111.3 | 111.7 | 112.1 | 107.3 |
| 1-12 | 0.1547 | 0.1545 | 0.1549 | 0.1550 | ∠1-12-13 | 110.4 | 111.2 | 116.8 | 112.1 |
| 12-13 | 0.1458 | 0.1456 | 0.1442 | 0.1455 | ∠12-13-14 | 120.2 | 120.5 | 122.0 | 120.9 |
| 13-14 | 0.1255 | 0.1255 | 0.1259 | 0.1257 | ∠13-14-15 | 169.5 | 169.2 | 168.8 | 168.9 |
| 14-15 | 0.1134 | 0.1135 | 0.1133 | 0.1135 | ∠14-15-16 | 111.1 | 112.0 | 111.4 | 111.6 |
| 1-16 | 0.1547 | 0.1540 | 0.1548 | 0.1541 | ∠1-16-17 | 110.5 | 109.8 | 116.2 | 110.1 |
| 16-17 | 0.1457 | 0.1459 | 0.1443 | 0.1458 | ∠16-17-18 | 120.6 | 120.6 | 122.4 | 121.1 |
| 17-18 | 0.1254 | 0.1253 | 0.1260 | 0.1254 | ∠17-18-19 | 169.0 | 169.0 | 168.3 | 169.3 |
| 18-19 | 0.1134 | 0.1135 | 0.1133 | 0.1134 | ∠18-19-20 | 111.9 | 111.6 | 112.1 | 111.8 |
| 2-20 | 0.1121 | 0.1123 | 0.1120 | 0.1122 | ∠2-20-21 | 112.0 | 111.1 | 111.8 | 111.3 |
| 2-21 | 0.1121 | 0.1121 | 0.1121 | 0.1121 | ∠2-21-22 | 112.0 | 111.4 | 110.2 | 110.8 |
| 7-22 | 0.1123 | 0.1122 | 0.1121 | 0.1122 | ∠7-22-23 | 111.8 | 111.8 | 110.9 | 110.3 |
| 7-23 | 0.1123 | 0.1122 | 0.1125 | 0.1126 | ∠7-23-24 | 107.6 | 107.8 | 107.8 | 107.3 |
| 12-24 | 0.1131 | 0.1130 | 0.1130 | 0.1129 | ∠12-24-25 | 107.6 | 107.1 | 107.5 | 108.4 |
| 12-25 | 0.1129 | 0.1131 | 0.1129 | 0.1130 | ∠12-25-26 | 107.5 | 108.2 | 107.3 | 107.9 |
| 16-26 | 0.1129 | 0.1130 | 0.1128 | 0.1129 | ∠16-26-27 | 107.5 | 107.6 | 107.7 | 108.3 |
| 16-27 | 0.1129 | 0.1130 | 0.1130 | 0.1129 | | | | | |

表 1 (续)

Tab. 1 (Cont.)

| 二面角/(°) | I | II | III | IV | 净电荷 | I | II | III | IV |
|--------------|--------|--------|--------|--------|-----|--------|--------|--------|--------|
| ∠1-2-3-4 | 178.4 | 170.8 | -169.5 | -166.3 | 1 | -0.004 | -0.010 | -0.111 | -0.041 |
| ∠2-3-4-5 | -179.8 | 177.2 | -179.7 | 178.2 | 2 | -0.011 | -0.006 | -0.020 | -0.014 |
| ∠2-3-4-6 | 0.1 | -3.0 | 0.3 | -2.6 | 3 | -0.266 | -0.239 | -0.287 | -0.272 |
| ∠3-2-1-7 | -178.9 | 156.7 | -167.0 | -179.6 | 4 | 0.662 | 0.661 | 0.658 | 0.662 |
| ∠2-1-7-8 | -178.5 | -178.7 | -47.7 | -42.4 | 5 | -0.299 | -0.295 | -0.288 | -0.301 |
| ∠1-7-8-9 | -179.2 | 159.3 | -111.8 | -101.8 | 6 | -0.354 | -0.366 | -0.344 | -0.349 |
| ∠7-8-9-10 | 180.0 | -177.2 | 165.7 | 174.1 | 7 | -0.012 | -0.021 | -0.013 | -0.012 |
| ∠7-8-9-11 | -0.0 | 2.3 | -16.3 | -8.4 | 8 | -0.266 | -0.269 | -0.270 | -0.258 |
| ∠7-2-1-12 | 121.3 | 115.8 | 118.9 | 117.6 | 9 | 0.661 | 0.663 | 0.700 | 0.700 |
| ∠2-1-12-13 | -58.6 | 58.3 | -53.2 | -172.1 | 10 | -0.299 | -0.293 | -0.302 | -0.290 |
| ∠1-12-13-14 | -179.8 | 161.7 | 83.7 | -146.3 | 11 | -0.353 | -0.350 | -0.340 | -0.366 |
| ∠12-13-14-15 | 180.0 | 179.5 | 176.3 | -176.2 | 12 | -0.080 | -0.079 | -0.069 | -0.079 |
| ∠7-2-1-16 | -121.4 | -120.9 | -123.1 | -123.5 | 13 | -0.302 | -0.288 | -0.298 | -0.302 |
| ∠2-1-16-17 | 59.8 | 62.0 | 72.6 | 54.0 | 14 | 0.219 | 0.215 | 0.218 | 0.216 |
| ∠1-16-17-18 | 176.5 | -171.7 | -90.1 | 165.2 | 15 | -0.026 | -0.028 | -0.021 | -0.025 |
| ∠16-17-18-19 | 179.1 | -178.0 | -170.1 | 176.4 | 16 | -0.078 | -0.069 | -0.076 | -0.070 |
| ∠3-1-2-20 | -117.7 | -117.1 | -119.9 | -119.7 | 17 | -0.303 | -0.308 | -0.309 | -0.318 |
| ∠3-1-2-21 | 118.2 | 118.6 | 117.9 | 116.1 | 18 | 0.219 | 0.222 | 0.212 | 0.225 |
| ∠8-1-7-22 | -118.2 | -115.9 | -124.4 | -125.2 | 19 | -0.027 | -0.032 | -0.004 | -0.019 |
| ∠8-1-7-23 | 117.9 | 120.5 | 112.9 | 112.4 | 20 | 0.129 | 0.117 | 0.127 | 0.155 |
| ∠13-1-12-24 | -121.8 | -121.0 | -114.9 | -125.7 | 21 | 0.130 | 0.119 | 0.116 | 0.105 |
| ∠13-1-12-25 | 121.7 | 123.8 | 127.9 | 118.8 | 22 | 0.130 | 0.104 | 0.145 | 0.151 |
| ∠17-1-16-26 | -121.5 | -122.7 | -129.6 | -120.1 | 23 | 0.128 | 0.147 | 0.137 | 0.130 |
| ∠17-1-16-27 | 122.1 | 120.0 | 114.1 | 123.9 | 24 | 0.100 | 0.087 | 0.132 | 0.109 |
| | | | | | 25 | 0.101 | 0.104 | 0.105 | 0.095 |
| | | | | | 26 | 0.101 | 0.122 | 0.102 | 0.096 |
| | | | | | 27 | 0.100 | 0.095 | 0.132 | 0.102 |

表 2 AM1 计算所得四种构象下的生成热、偶极矩和电子结构参数

Table 2 AM1 calculated heats of formation, dipole moment and electronic structures of four PDADN conformations

| 构型 | 生成热 (kJ/mol) | 核核排斥能 (keV) | 电子能量 (keV) | 第一电离能 (eV) | 偶极矩 (10^{-30} C · m) |
|-----|-----------------|----------------|---------------|---------------|----------------------------|
| I | 481.13 | 19.934 | -24.251 | 10.12 | 0.6176 |
| II | 488.99 | 20.034 | -24.350 | 9.99 | 0.9183 |
| III | 463.17 | 20.916 | -25.232 | 10.17 | 1.1257 |
| IV | 473.10 | 20.420 | -24.737 | 10.04 | 1.6123 |

4 结果讨论

4.1 生成热和分子稳定性

生成热是分子的基本热力学性质。在半经验分子轨道中, 生成热由下式定义:

$$\Delta H_f = \sum \Delta H_{f,A} - \sum E_e^A + E_e + \sum E_{AB}^{cor}$$

式中, $\sum \Delta H_{f,A}$ 是原子的实验生成热; E_e^A 是孤立原子的电子能量; E_e 是分子的总电子能量; E_{AB}^{cor} 是核核排斥能。生成热越小, 则该化合物就越稳定。比较表 2 的数据可见, 四种构象中生成热由大到小的顺序是 I > II > III > IV, 说明构象 III 较稳定(其第一电离能最大); 构象 I 最不稳定(其第一电离能最小)。

4.2 核核排斥能和硝酸酯基及叠氮基的取向

由表 2 计算结果可见, 在上述 PDADN 的四种构象中, 构象 I 的四个取代基都取反式后, 使四个基团相互远离, 结构对称性较好, 故对应的核核排斥能最小、偶极矩也最小; 而在构象 III 中, 有一个硝酸酯基取反式, 而另一个硝酸酯基和两个叠氮基为顺式, 因此四个取代基相互之间的距离比构象 I 接近, 对应的核核排斥能较大。

4.3 分子几何构型

从表 1 的数据可见, 在优化后的四种构象中, 各相应位置上的键长差异很小。相应的键角中, 以(1—12—13)和(1—16—17)差异较大。其中构象 III 中角(1—12—13)=116.8°, 角(1—16—17)=116.2°, 比正四面体构型中键角(109°28')大 7°左右, 而其它构象相应位置的键角与 109°28' 较接近, 反映了在构象 III 中取代基的排斥作用最大(该构型的核核排斥能也最大)。比较四种构象的二面角数值可知, 差别最大的是(3—2—1—7)、(2—1—7—8)、(1—7—8—9)、(2—1—12—13)、(1—12—13—14)和(1—16—17—18), 这是由于四种构象中的取代基取向不同所致。

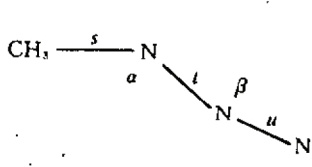
在表 3 中, 我们把四种构象下标题物的几何计算值与 CH_3N_3 和 CH_3ONO_2 分子中的相应实验值进行了比较。

表 3 PDADN 几何的 AM1 计算值与 CH_3N_3 和 CH_3ONO_2 的相应实验值比较

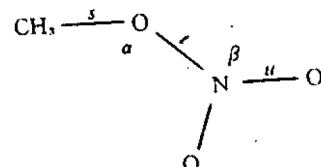
Table 3 AM1 calculated geometries of PDADN and corresponding experimental values of CH_3N_3 and CH_3ONO_2

| 几何参数 | CH_3N_3 实验值 ^[9] | 计算值 | | | | CH_3ONO_2 实验值 ^[10] | 计算值 | | | |
|------------------|---|--------|--------|--------|--------|--|--------|--------|--------|--------|
| | | I | II | III | IV | | I | II | III | IV |
| $s/(nm)$ | 0.141 | 0.1458 | 0.1456 | 0.1442 | 0.1455 | 0.1437 | 0.1459 | 0.1453 | 0.1456 | 0.1456 |
| $t/(nm)$ | 0.124 | 0.1255 | 0.1255 | 0.1259 | 0.1257 | 0.1402 | 0.1343 | 0.1344 | 0.1349 | 0.1345 |
| $u/(nm)$ | 0.117 | 0.1134 | 0.1135 | 0.1133 | 0.1135 | 0.1208 | 0.1188 | 0.1187 | 0.1187 | 0.1188 |
| $\alpha/(\circ)$ | 120 | 120.2 | 120.5 | 122.0 | 120.9 | 112.7 | 118.4 | 118.4 | 118.9 | 118.7 |
| $\beta/(\circ)$ | 180 | 169.5 | 169.2 | 168.8 | 168.9 | 112.4 | 113.3 | 113.5 | 113.0 | 113.2 |

注: 表中位置编号:



CH_3N_3



CH_3ONO_2

从表 3 可见: PDADN 分子叠氮基中键长以及角(C—N—N)的计算值与 CH_3N_3 分子相应部分的实验值很接近, 两者的角(N—N—N)相差 10°多; PDADN 分子中硝酸酯基的

各个键的键长以及角(O—N—O)的计算值与 CH_3ONO_2 相应部分的实验数值也较接近, 但角(C—O—N)彼此相差 6° 左右。

4.4 原子上净电荷

从表1可见, PDADN 分子的四种构象中各相应原子上的电荷密度很接近, 其中 C 原子都带负电, H 原子都带正电。

同时计算了其中两个硝酸酯基和两个叠氮基上的净电荷(见表4)。发现四个取代基都带负电; 在不同构型下的数值大体相同。

5 结论

通过 AM1 计算可得如下结论: 在 PDADN 的四种构象中, 以构象Ⅲ(一个硝酸酯基取反式, 另一个硝酸酯基和两个叠氮基取顺式)较稳定, 构象Ⅳ(两个硝酸酯基取反式, 两个叠氮基取顺式)较不稳定; 两个硝酸酯基和两个叠氮基都取反式时, 分子的核核排斥能较小, 偶极矩也最小。各构象中碳原子带负电, 氢原子带正电, 酯基和叠氮基均带负电, 其相应值彼此接近。

表4 PDADN 分子中取代基的电荷密度

Table 4 Charge density on groups
in PDADN molecule

| | I | II | III | IV |
|------|--------|--------|--------|--------|
| 硝酸酯基 | -0.257 | -0.239 | -0.261 | -0.260 |
| | -0.257 | -0.249 | -0.212 | -0.214 |
| 叠氮基 | -0.109 | -0.101 | -0.101 | -0.111 |
| | -0.111 | -0.118 | -0.101 | -0.112 |

参 考 文 献

- Frankel M B, et al. Azido Derivatives of Pentaerythritol. USP 4 683 086, 1987.
- 王平, 李顺秀, 黄悦, 李常青. 二叠氮季戊二醇二硝酸酯的研究. 含能材料, 1994, 2(3): 29~35.
- 王晓川, 王照明, 黄悦, 李常青. 二叠氮季戊二醇二硝酸酯的结构分析. 含能材料, 1995, 3(1): 39~43.
- Stewart James J P. Mopac, a General Molecular Orbital Package. QCPE Bull., 1983, 3: 101.
- Dewar Michael J. S., Zoebisch E G, Healy E F, Stewart James J P. AM1: A New General Purpose Quantum Mechanical Molecular Model. J. Amer. Chem. Soc., 1985, 107: 3902.
- 肖鹤鸣, 贡雪东, 俞伯恒. 硝酸酯化合物生成热的分子轨道研究. 化学学报, 1994, 52: 750~754.
- 贡雪东, 俞柏恒, 肖鹤鸣. 硝酸酯分子几何构型的量子化学研究. 有机化学, 1994(3): 274~279.
- Pople J A, et al. 著. 分子轨道近似方法理论. 江元生译. 北京: 科学出版社, 1978.
- Cabral B J, Costa M L. Theochem, 1993, 100: 185~193.
- Cox A P, Waring S. Trans. Faraday Trans. J. Chem. Soc., 1971, 67: 3441.

AM1-MO STUDY ON THE CONFORMATIONS OF PENTAERYTHRITOL DIAZIDO DINITRATE

Wang Zunyao

(Yancheng Institute of Technology, Yancheng 224003)

Gong Xuedong Xiao Heming

(Nanjing University of Science and Technology, Nanjing 210094)

ABSTRACT The molecular geometries and electronic structures of the four conformations of PDADN are fully optimized by using the semi-empirical AM1-MO method. Among the four conformations, the structure with one $-ONO_2$ group at trans-conformation and another $-ONO_2$ and two $-N_3$ groups at cis-conformations is the most stable. When all four groups, two $-ONO_2$ and two $-N_3$, are at trans-conformations, the nuclei repulsion energy is lower and the dipole moment is smaller than those in other conformations.

KEYWORDS AM1 method, molecular geometry, PDADN, stability.



作者简介 王遵尧(Wang Zunyao)1963年生,1995年毕业于南京理工大学,获硕士学位,现为盐城工学院讲师,从事化学教学和科研工作。在《化学学报》等全国性刊物上发表过多篇学术论文,曾获国家教委科技进步三等奖,参加编写了科学技术文献出版社出版的《无机及分析化学》。